

宮崎大学工学部 正員 ○藤本 廣 同学生員 柴田 隆

同学生員 鶴誠一郎 同 長野良次 同 西山知治

まえがき

不飽和土が、いわゆる三相系よりなるために、その力学的挙動が飽和土に比べて複雑であることは周知の通りである。著者（藤本）はこれまでに、締固めた不飽和粘性土の応力緩和特性¹⁾、三軸圧縮試験によるせん断時の体積変化性状と有効応力表示の問題²⁾、およびせん断強度における変形速度の影響³⁾などについて理論的、実験的に検討してきたが、それらの研究を通じて、まだ歴然としているものに有効応力表示の問題がある。しかしながら、それはともかくとして、不飽和粘性土のレオロジー的性質に関する研究は飽和土のそれに比較して依然として少なく、特に、レオロジカルな現象と強度特性との貫通した相関性を追究したものとは多く沿んで見当らないのが現状である。一方、実際問題としても、不飽和粘性土のレオロジー的性質と強度特性との相関性は、今日のように大型化した宅造地などの盛土の安定性や擁壁に作用する土圧などに直接關係するものであるから、その解明はもうろん急を要する問題でもある。本文では、以上の観点から、締固めた不飽和粘土の基礎的な応力-変形-時間關係ならびにその強度特性との相関性を中心としてクリープ現象の面から実験的に検討し、線型レオロジーと非線型レオロジーの両理論の接続に立って考察した結果を報告する。

1. 基礎理論

土のクリープ現象に関しては、対象を不飽和土と限定しなければ、これまでに多数の研究結果が発表されている。たとえば、最近では、村山・柴田⁴⁾、小田・木村⁵⁾、A.Singh & J.K.Mitchell⁶⁾、J.Volque⁷⁾あるいはS.S.Vialov⁸⁾などが掲げられる。しかしながら、それらの研究では、いわゆるクリープのため対象として沿んだりが線型か非線型かの何れかの理論体系の下で考察されており、上述のような強度特性との相関性を検討するところと若干無理があるようである。したがって、本文では、実験方法の特殊性を考慮したうえで以下のような理論体系を基礎としたことにした。

すなわち、いま、三軸圧縮条件下における供試体について、軸方向ひずみ(ε_1)と軸方向応力($P_1 = \alpha_1 - \alpha_3$)がゼロの状態から変形あるいは応力が増加してある応力段階($P_{ac} = \alpha_{1c} - \alpha_3$)になってクリープを起し、クリープが終局状態に達したときに除荷、再載荷の経路を経て破壊強度を求めるという応力-変形-時間關係に対しては、一般的に粘弾性体の記憶現象に関する重積則が成立するとして次の Boltzmann の基礎方程式が適用される。⁹⁾

$$P(t) = E_d \dot{\varepsilon}(t) - \int_0^t f(t-\tau) \varepsilon(\tau) d\tau \quad (1)$$

ここで、 E_d は見かけの弾性率、 $f(t-\tau)$ は時刻 t から $d\tau$ だけのひずみ $\varepsilon(\tau)$ が与えられたとき、その後の時刻 t (この時刻 t におけるひずみを $\varepsilon(t)$ とする) における応力 $P(t)$ に関する記憶関数である。いま、 $f(t-\tau) = (t-\tau)^{-n}$ の單調減少関数と仮定して

$$f(t-\tau) = \frac{E_d}{\tau_m} \exp(-\frac{t-\tau}{\tau_m}) \quad (2)$$

であると次式が得られる。但し、上式で τ_m は緩和時間である。

$$\frac{dP(t)}{dt} = E_d \dot{\varepsilon} - \frac{E_d}{\tau_m} \varepsilon(t) + \frac{1}{\tau_m} \int_0^t f(t-\tau) \varepsilon(\tau) d\tau = E_d \dot{\varepsilon} - \frac{P(t)}{\tau_m}$$

$$\therefore \frac{dP(t)}{dt} = \frac{1}{E_d} \frac{dP(t)}{dt} + \frac{P(t)}{\tau_m} \quad (3)$$

ここで、 $\tau_m = E_d / \tau_m$ で表わされる粘土の見かけの構造粘性率である。この(3)に著者(藤本)が導出した式¹⁰⁾

$$\gamma = \frac{P_{ct}}{2B_0[B_1(t=0) - P_{de}] \sinh(\frac{B}{N}(P_{ct} - P_{de})/N)} \quad (4)$$

を導入すると、次の一連のレノロジー方程式が求められる。上式で B_0 と B は定数、 N は活性化された単位変形機構の数、 P_{de} は下限降伏値であり、 γ シン記号は有効応力表示を意味する。

初期弾性に対しては全応力 $P_{ct}(t)$ が対応するとして、 $\frac{dE(t)}{dt} = \frac{1}{E_{d1}} \cdot \frac{dP_{de}}{dt} \quad (5)$

粘塑性変形に対しては有効応力が対応するとして、

$$\frac{dE(t)}{dt} = \frac{1}{E_{d2}} \cdot \frac{dP_{de}}{dt} + 2B_0(P_{ct}(t=0) - P_{de}) \sinh\left(\frac{B}{N}(P_{ct} - P_{de})\right) \quad (6)$$

式(5)と式(6)をクリープについて解くには、 $P_{ct} > P_{ct}(t=0) = P_{de} = \text{const.} > P_{de}$ (P_{ct} は上限降伏値) とすれば、式(6)は、 $\frac{dE(t)}{dt} = 2B_0(P_{ct} - P_{de}) \exp\left(\frac{B}{N}(P_{ct} - P_{de})\right) \quad (7)$ なるので、式(7)を一定のひずみ範囲の条件で積分すればよい。かくして、求められたクリープひずみの式は次式で表す通りである。

$$E(t) = B_1 \left(\frac{P_{ct}}{E_{d1}} + \frac{P_{ct} - P_{de}}{E_{d2}} \right) + \ln(B_2 \left(\frac{P_{ct} - P_{de}}{E_{d2}} \right) t) \quad (8)$$

ここで、 $B_1 = B/N$ 、 $B_2 = BB_0 E_{d2}/N$ で、いずれもレノロジー定数である。なお、この場合におけるクリープ終局時のひずみは、 $E(t \rightarrow \infty) = \left(\frac{P_{ct}}{E_{d1}} + \frac{P_{ct} - P_{de}}{E_{d2}} \right) B_1 \quad (9)$ で与えられる。

上限降伏値以上のクリープ応力、 P_{ct} の下におけるクリープ破壊については、及施工速度過程論を拡張して、村山・柴田の理論を参考にすると、次式でクリープ破壊時間 t_{cf} が求められる。
式(10) $t_{cf} = B_3 \exp(-B_4 P_{ct}) / B_5 P_{de} \quad (10)$

上で B_3 と B_4 は定数である。

なお、式(8)によって導かれたクリープ曲線の特性は、粘土の物性に応じたレノロジー定数 B_1 、 B_2 、 E_{d1} 、 E_{d2} および P_{de} を実験的に求めて初めて定量的に表現できるものである。ただし、この場合、粘土土の力学的な指標特性とクリープ曲線の特性との相関性を検討するだけなら、遅延スペクトルを利用すれば便利である。この遅延スペクトルは、クリープコンプライアンス $J_d(t) = E(t)/P_{de}$ と時間対数軸 $\log_{10} t$ に対してプロットしたクリープ曲線の勾配 $dJ_d(t)/d\log_{10} t$ で簡単に求められる。

2. 実験方法

試料には粘土分($<5 \mu$)97%、粒子比重 $G_s = 2.64$ 、 $L.L. = 62.5\%$ 、 $P.L. = 32.3\%$ の廃白カオリンを使用した。そのJIS規格による締固め曲線を図-1に示す。供試体は、乾燥密度の標準値 $\rho_d = 1.360 \text{ g/cm}^3$ とし、飽和度が $S_r = 80\%$ と 90% の2種になるように、はじめ計算した量の蒸溜水で混合し、静的圧縮固め作成した。その供試体は8時間温潤容器中に静置した後、高さ70mm、径33.4mmに整形して実験に使用した。

実験は、予備実験として、先づ非排水条件下でひずみ速度 $\dot{\epsilon} = 0.6\%/\text{分}$ ($0.66 \text{ mm}/\text{分}$)の三軸圧縮試験を行ない、全応力表示による変形係数 (E_{de})、破壊時の軸方向ひずみ (E_{ct})、破壊時の軸差応力 ($P_{ct} = \sigma_{1c} - \sigma_3$) および残留強度 ($P_{dr} = \sigma_{1r} - \sigma_3$) を求めた。試験に採用したセル压は $\alpha_3 = 0.5, 1.0, 1.5 \text{ kg/cm}^2$ の3種である。次に予備実験と同じ実験条件でクリープ応力を $P_{ct} = 0.25 P_{cf}, 0.5 P_{cf}, 0.75 P_{cf}$ および $0.90 P_{cf}$ の4段階とし、各段階毎に同一物性の新しい供試体に応力制御方式 ($100\%/\text{分}$) で軸差応力を増してゆき、所定の P_{ct} に達したら

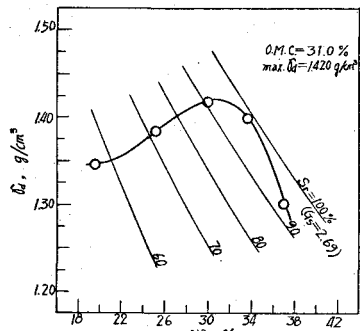


図-1. 試料(カオリン)の締固め曲線。

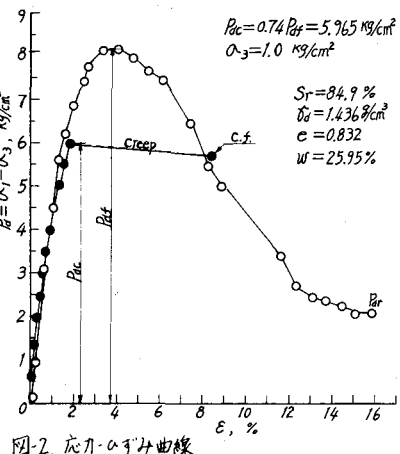


図-2. 応力-ひずみ曲線

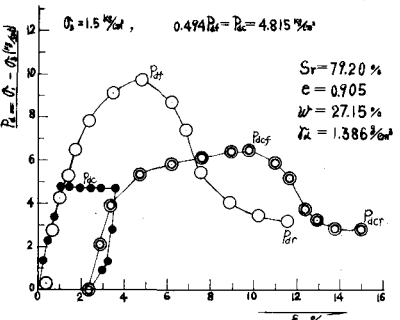


図-3. 応力-ひずみ曲線

クリープ測定に入つた。この間の変形は20秒毎に記録した。 $S_r = 80\%$ の供試体では、クリープから終局状態に達した時まで一旦降荷し、ひずみの回復をもって、その後ひずみ制御方式 ($\dot{\epsilon} = 0.6\%/\text{分}$) で再圧縮して応力-ひずみの履歴曲線を求めたうえで破壊時の初期応力 (P_{ac}) とひずみ (ϵ_{cf}) ならびに残余強度 (P_{acr}) を求めた。 $S_r = 90\%$ の供試体については、クリープ開始後 分で降荷し、上記の方法で P_{ac} , ϵ_{cf} ならびに P_{acr} を求めた。クリープ破壊した供試体については、その破壊時のひずみ (ϵ_{cf}) を記録した。

3. 実験結果と考察

(1). クリープ特性: 図-2と図-3に応力-ひずみ曲線の一例を示す。

図中、白実は予備試験によるもので、黒実と二重白実がクリープ実験によるものである。図-4はクリープコンプライアンスでプロットしたクリープ曲線の一例で、図中に記入した C.F. は破壊を、C.S. はクリープ途中で除荷時を、C.C. はクリープが終局に達した時をそれぞれ示す。これにより、クリープ実験に対する理論式(8)の適用性が確認される。

図5と図6は、遅延スペクトル ($dJ_{ac}/d\log t$) とクリープ荷重 (P_{ac}) の相関性を示したもので、前者がクリープが終局に達するまでの実験によるもの ($S_r = 80\%$) で、後者がクリープ途中で除荷した場合のもの ($S_r = 90\%$) である。これより、両者共に、遅延スペクトルは P_{ac} に比例的に増大するものであることが判る。なお、前者では α_3 の影響が認められながら、クリープ途中で除荷した場合には α_3 の影響は殆んど認められない。これは、クリープ中の内部応力によるものと考えられる。

図-7は、 $S_r = 80\%$ の供試体の P_{ac} とクリープ終後除荷・再圧縮した場合の破壊時ににおけるひずみ (ϵ_{cf}) との関係を示したものである。これより、データが少ないので断言はできないが、クリープ履歴を有する供試体の再圧縮による破壊ひずみ (ϵ_{cf}) は P_{ac} に逆比例的で、さらに α_3 が大きくなる程増大する傾向があるがわれ、一方、Boltzmann の基礎方程式(1)に適合するようである。

図-8は、クリープ破壊した供試体のクリープ破壊ひずみ ($\bar{\epsilon}_{cf}$) と遅延スペクトルとの関係を示したもので、これより、両者の間に双曲線的な相関關係つまり、

$$\bar{\epsilon}_{cf} = \alpha / dJ_{ac}/d\log t \quad (\alpha \text{ は実験係数}) \quad (10)$$

で表わされる關係のあることが認められる。この關係と図-7とを考慮すれば、結局、 $\bar{\epsilon}_{cf}$ と P_{ac} との間に式(10)と類似な關係式が求められるようである。すなわち、

$$\bar{\epsilon}_{cf} = \beta / P_{ac}, \quad (\beta \text{ は実験係数}) \quad (11)$$

これら2つの關係とクリープ破壊時間 (t_{cf}) を求める理論式(10)との実験的、理論的相関性を今後検討する必要があるようである。

(2). 強度特性に対するクリープ履歴の影響

この実験で、クリープ破壊を起した供試体の P_{ac} は殆んど $0.75 P_{sf}$ 以上であったが、たゞ一例だけ、

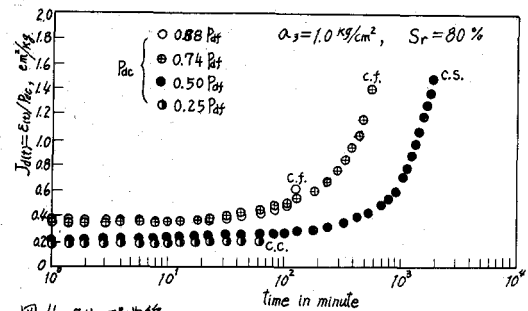


図-4. クリープ曲線

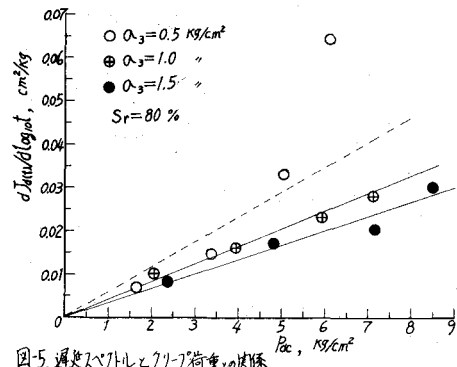


図-5. 遅延スペクトルとクリープ荷重の関係

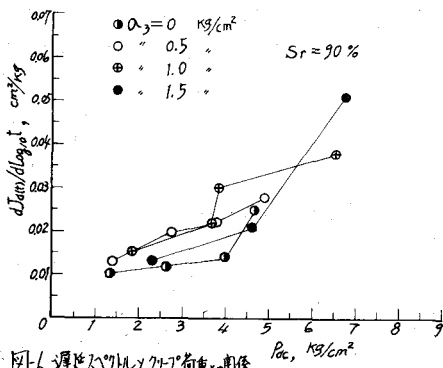


図-6. 遅延スペクトルとクリープ荷重の関係

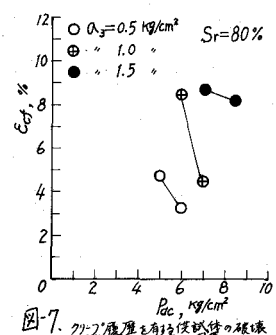


図-7. クリープ履歴とクリープ荷重との関係

$P_{ac} = 0.53 P_{af}$ ($\alpha_3 = 0.5 \text{ kg/cm}^2$) でクリープ¹⁰⁾
破壊を起したものであった。それで、各ひずみの下における上限降伏値を変形速度法によつて求めると図-9のようになる。 $\alpha_3 = 0.5 \text{ kg}/\text{cm}^2$ のものについては紙面の都合で図示しなかったが、 $P_{afy} = 5.0 \text{ kg}/\text{cm}^2$ であった。これより、この実験に限って上限降伏値に対する α_3 の影響は顕著でないが、場合によっては $\alpha_3 = 0.5 \text{ kg}/\text{cm}^2$ については実験ミスがあつたかもしれない。



写真-1. クリープ破壊した供試体
($S_r = 80\%$)

この点に関しては今後データーの補充を兼ねて再検討する必要があつる。

上限降伏値について村山・柴田の研究¹¹⁾によると、飽和中砂層粘土では $P_{afy} = 0.7 / P_{af}$ であるとしている。これに対して、著者らの実験では、 $\alpha_3 = 0.5 \text{ kg}/\text{cm}^2$ で $P_{afy} = 0.78 P_{af}$, $\alpha_3 = 1.0 \text{ kg}/\text{cm}^2$ で $P_{afy} = 0.53 P_{af}$, $\alpha_3 = 1.5 \text{ kg}/\text{cm}^2$ で $P_{afy} = 0.68 P_{af}$ という値が一応求められた。したがつて、いずれにしても、これらの差については再検討の必要があつようである。

図-10は、 $S_r = 90\%$ の供試体について、破壊強度と残存強度に対するクリープ履歴の影響を調べたものである。従来、この種の関係については、A.Casagrande¹²⁾や R.Haezel¹³⁾ならびに村山・柴田の研究¹⁰⁾があるが、未だ明確な結論は得られていないようである。しかしながら、これらの中の研究結果を総合してみると、(a) 上限降伏値以下のクリープ履歴を有する供試体程、履歴のない供試体に比べて強度が増加し、しかも、クリープ時間が長いもの程その傾向が強まるようであること。しかし、(b) 上限降伏値に近い P_{ac} 、あるいは上限降伏値以上のクリープ履歴を有する供試体については、クリープ時間が長い程(クリープ量が大なる程)強度は逆に低下する傾向があるのではないかと推測される。図-10の結果は、クリープ時間が一定で、しかもクリープ途中で除荷後再圧縮したものであるから、前記 Haezel の場合に相当し(a)の傾向を示している。これに対して、紙面の都合で図示しなかつたが、クリープ終局後に除荷し再圧縮した $S_r = 80\%$ の供試体の実験結果では、上記(b)の傾向を明瞭に示すデーターが得られている。この場合、(b)の傾向の極端な場合がクリープ破壊とも考えられる。(図-3、参照)。

むすび

この研究により、(1) 不飽和粘土クリープも村山・柴田あるいは著者らの提案したレバジン方程式で充分に説明できる。(2) 速度スペクトラルはクリープ荷重に比例して増加する。(3) クリープ破壊はクリープ荷重または座屈スペクトラルに逆比例の関係を示す。(4) 上限降伏値以下のクリープ履歴をもつ試料では再圧縮後の強度は増加し、上限降伏値以上のクリープ履歴をもつ粘土では、クリープ量が大なる程強度低下率が大きい。等々が確かめられた。しかししながら、上限降伏値そのものに若干検討の余地があり、残存強度、せん断抵抗成分、更に今後実験的に解明すべき問題点の多くが存在することも確かめられた。本研究の経費の一部は文部省科学振興費(災害科学一地域型)によつた。付記して謝意を表す。

参考文献

- H.Fujimoto: Studies on the Stress Relaxation of Compacted Cohesive Soils and Its Application to Eng. Practice. 富士大学工学部報第16号, 1979.
- 藤本謙: 土木工学研究会論文集, No.23回(1979年6月).
- 村山・柴田: 土木工学研究会論文集, No.23回(1979年6月).
- S.Murayama & T.Shibata: Rheology and Soil Mechanics, I.I.T.A.M., 1966.
- 小田・木村: 土木学会第2次全国技術講演会(25回)(1965年11月).
- A.Singh & J.K.Mitchell: Proc. ASCE, Vol.94, No.1M, 1968.
- J.Volique: Proc. 5th ICSMFE(I), 1971.
- S.S.Vialov: Proc. 6th ICSMFE(I), 1975.
- 中川・神戸: レバジン(半弾性)とクリープ, 1979年5月.
- 村山・柴田: 土木学会論文集, No.40, 5月(1979年5月).
- 柴田: 土木学会論文集, No.41, 5月(1979年5月).
- R.Haezel: Proc. 3rd ICSMFE(IV), 1973.

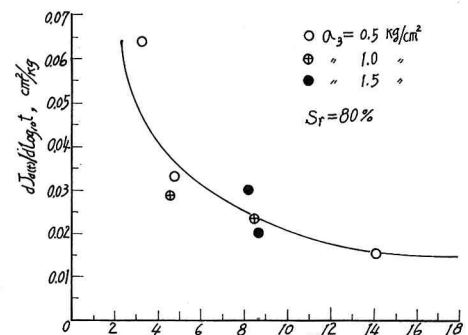


図-8. 速度スペクトラルとクリープ破壊との関係

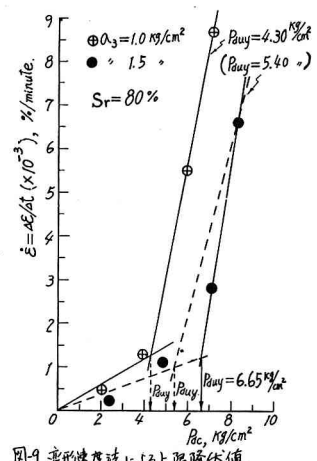


図-9. 変形速度法による上限降伏値

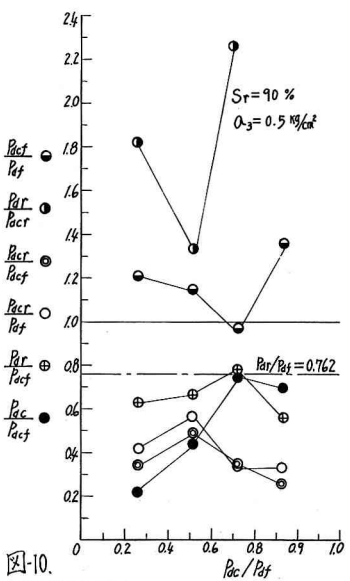


図-10.